

Европейский центр  
«**ONLINE CLINIC**»

Республика Болгария, София  
[www.newonlineclinic.com](http://www.newonlineclinic.com)

**РЕЗУЛЬТАТ ОБРАБОТКИ  
№1803R1**

Научно-исследовательский центр  
«**АВАНТРЕНД**»

Россия, Екатеринбург, ул. Народной Воли, 65 - 805  
[www.medinnovations.ru](http://www.medinnovations.ru) [info@medinnovations.ru](mailto:info@medinnovations.ru)  
8 (343) 38-24-911

## РЕЗУЛЬТАТ ОБРАБОТКИ №1803R1

Дата обработки: 18.03.2019.

Вид исследования: КТ с контрастом.

Предоставленные снимки от: 28.02.2019.

В ходе обработки изображения проанализированы 2 области исследования:

- Органы брюшной полости;
- Органы малого таза.

---

Диагностическая обработка цифровых медицинских данных выявляет патологические изменения тканей организма. Результат обработки не является диагнозом. Интерпретация результата проводится лечащим врачом.

---

**1. Область исследования - Органы брюшной полости**

Представленные снимки области исследования представлены на рисунке 1.

Рисунок 1

## 1.1 Зона внимания - Печень

**Плотность** паренхимы печени:

- **ранняя артериальная фаза**  $+59 \pm 11$  HU (мин: +15 HU, макс: +97 HU);
- **поздняя артериальная фаза**  $+91 \pm 13$  HU (мин: +52 HU, макс: +137 HU);
- **венозная фаза:**  $+94 \pm 13$  HU (мин: +61 HU, макс: +140 HU);
- **отсроченная фаза:**  $+78 \pm 11$  HU (мин: +37 HU, макс: +110 HU).

**Размеры** печени:

- Угол левого края печени 40.4 градусов ( норма ~: 45 );
- Отношение хвостатой доли / правой доли **0.45** ( норма 0,21 - 0,53 );
- левая доля 90 мм ( норма до 50 мм ).

На рисунках 2, 3 изображен способ замера угла левого края печени, хвостатой доли, правой и левой доли.

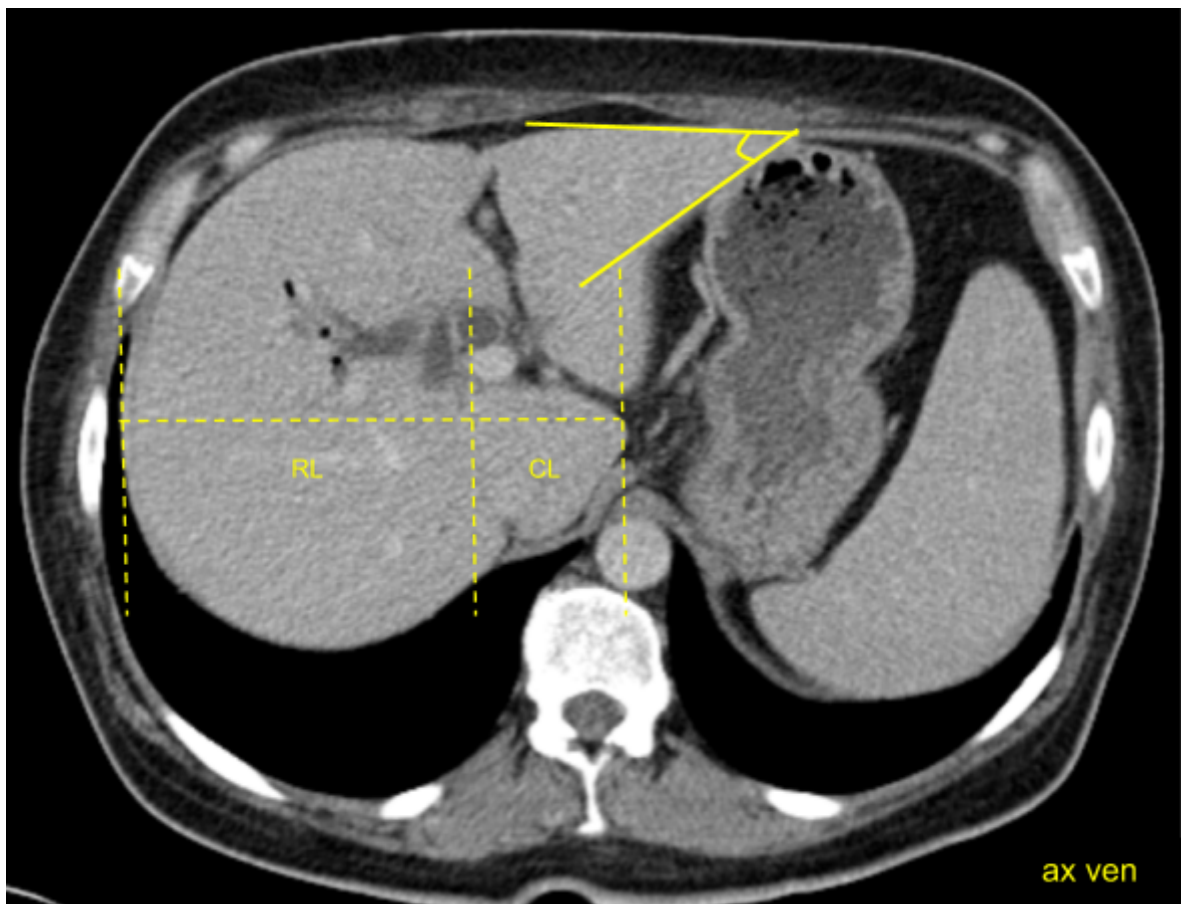


Рисунок 2

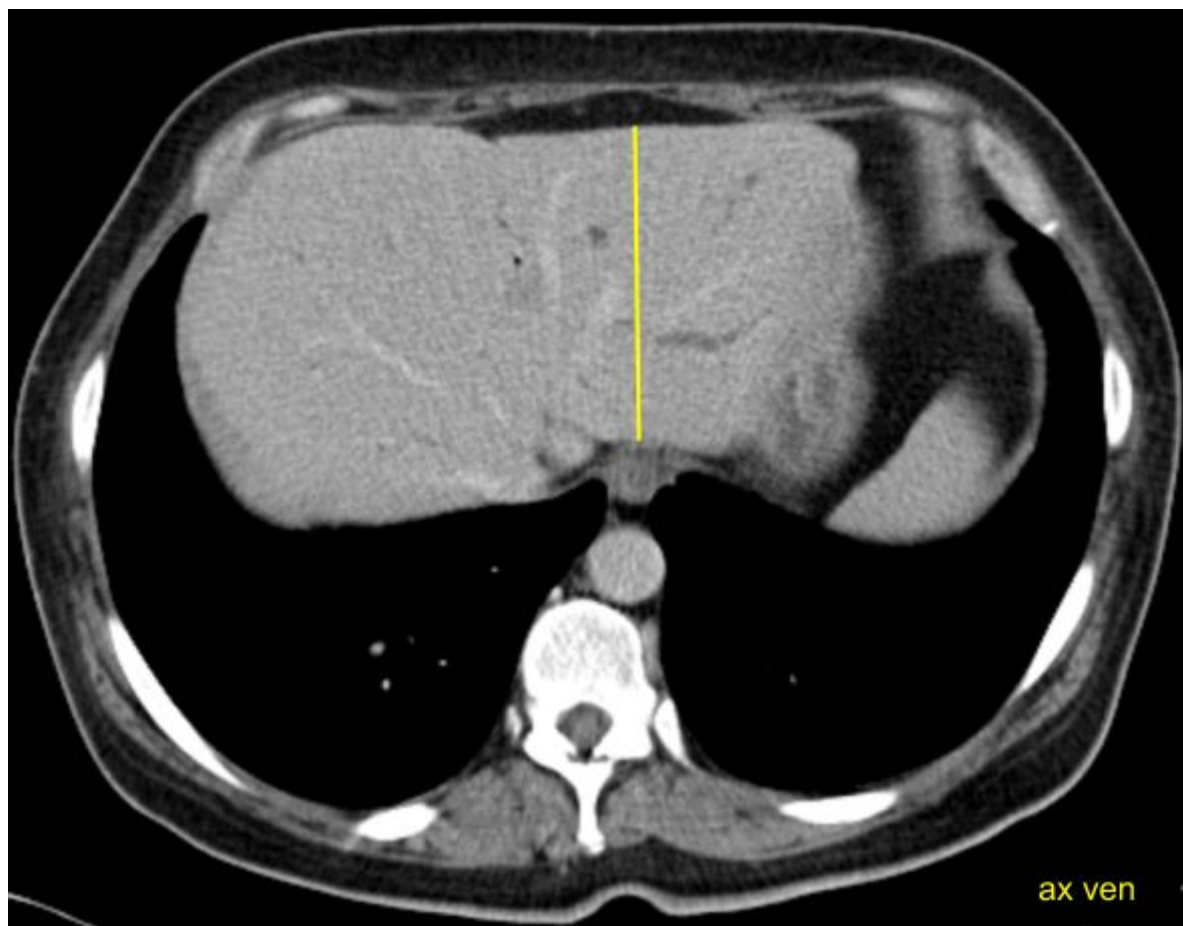


Рисунок 3

На рисунке 4 показано найденное образование (желтый круг) в заднем левом латеральном сегменте (S2) печени.

**Размер** образования: 23 мм \* 16 мм \* 20 мм.

**Плотность** образований:

- **ранняя артериальная фаза**  $+74 \pm 14$  HU (мин: +28 HU, макс: +113 HU) - гиперденсно к паренхиме печени;
- **поздняя артериальная фаза**  $+112 \pm 13$  HU (мин: +76 HU, макс: +148 HU) - гиперденсно к паренхиме печени;
- **венозная фаза:**  $+97 \pm 13$  HU (мин: +68 HU, макс: +137 HU) - изоденсно к паренхиме печени;
- **отсроченная фаза:**  $+73 \pm 13$  HU (мин: +38 HU, макс: +117 HU) - изоденсно к паренхиме печени.

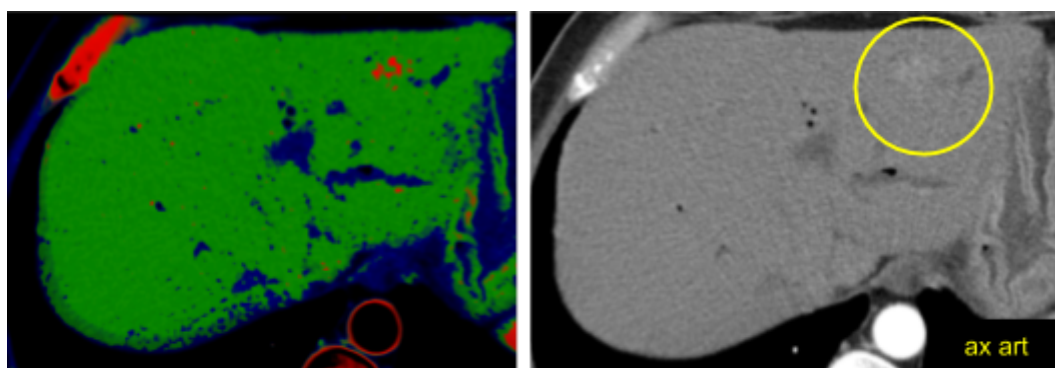


Рисунок 4

- - изоденсный сигнал (от +45 до +75 HU);
- - гиподенсный сигнал (от -1024 до +44 HU);
- - гиперденсный сигнал (от +76 до +1024 HU).

На рисунке 5 показано найденное образование (желтый круг) в переднем правом латеральном сегменте (S5) печени.

**Размер** образования: 28 мм \* 24 мм \* 20 мм.

**Плотность** образований:

- **ранняя артериальная фаза**  $+90 \pm 16$  HU (мин: +47 HU, макс: +125 HU) - гиперденсно к паренхиме печени;
- **поздняя артериальная фаза**  $+118 \pm 17$  HU (мин: +54 HU, макс: +145 HU) - гиперденсно к паренхиме печени;
- **венозная фаза:**  $+101 \pm 15$  HU (мин: +70 HU, макс: +141 HU) - изоденсно к паренхиме печени;
- **отсроченная фаза:**  $+80 \pm 16$  HU (мин: +41 HU, макс: +110 HU) - изоденсно к паренхиме печени.

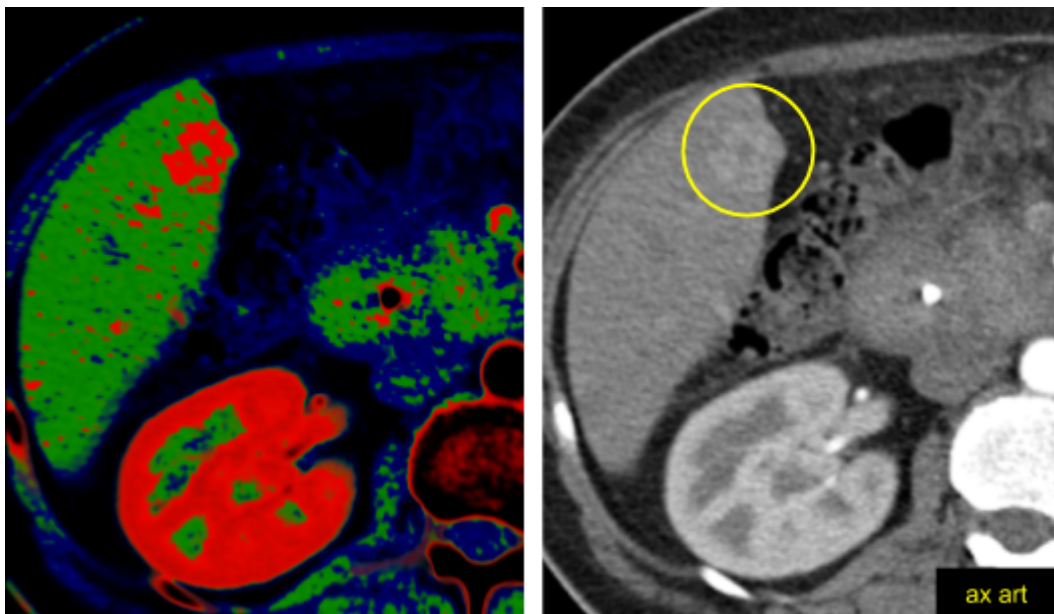


Рисунок 5

- - изоденсный сигнал (от +45 до +75 HU);
- - гиподенсный сигнал (от -1024 до +44 HU);
- - гиперденсный сигнал (от +76 до +1024 HU).

На рисунке 6 показано найденное образование (желтый круг) в заднем правом латеральном сегменте (S7) печени.

**Размер** образования: 20 мм \* 13 мм \* 20 мм.

**Плотность** образований:

- **ранняя артериальная фаза**  $+82 \pm 19$  HU (мин: +40 HU, макс: +128 HU) - гиперденсно к паренхиме печени;
- **поздняя артериальная фаза**  $+111 \pm 17$  HU (мин: +55 HU, макс: +155 HU) - гиперденсно к паренхиме печени;
- **венозная фаза:**  $+92 \pm 12$  HU (мин: +63 HU, макс: +129 HU) - изоденсно к паренхиме печени;
- **отсроченная фаза:**  $+70 \pm 13$  HU (мин: +32 HU, макс: +105 HU) - изоденсно к паренхиме печени.

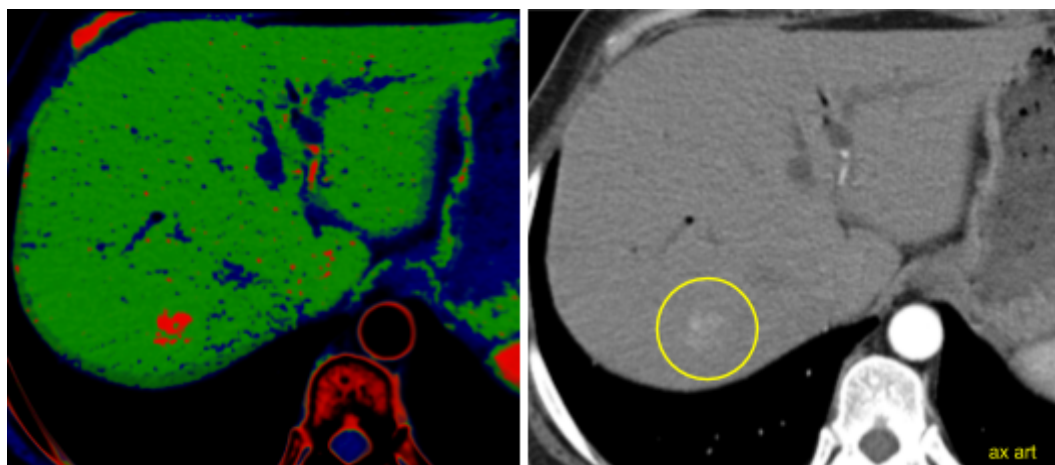


Рисунок 6

- - изоденсный сигнал (от +45 до +75 HU);
- - гиподенсный сигнал (от -1024 до +44 HU);
- - гиперденсный сигнал (от +76 до +1024 HU).

На рисунке 7 показано найденное образование (желтый круг) в заднем правом латеральном сегменте (S7) печени.

**Размер** образования: 9 мм \* 9 мм \* 10 мм.

**Плотность** образований:

- **ранняя артериальная фаза**  $+78 \pm 14$  HU (мин: +47 HU, макс: +105 HU) - гиперденсно к паренхиме печени;
- **поздняя артериальная фаза**  $+114 \pm 16$  HU (мин: +75 HU, макс: +156 HU) - гиперденсно к паренхиме печени;
- **венозная фаза:**  $+94 \pm 14$  HU (мин: +44 HU, макс: +126 HU) - изоденсно к паренхиме печени;
- **отсроченная фаза:**  $+72 \pm 12$  HU (мин: +42 HU, макс: +95 HU) - изоденсно к паренхиме печени.

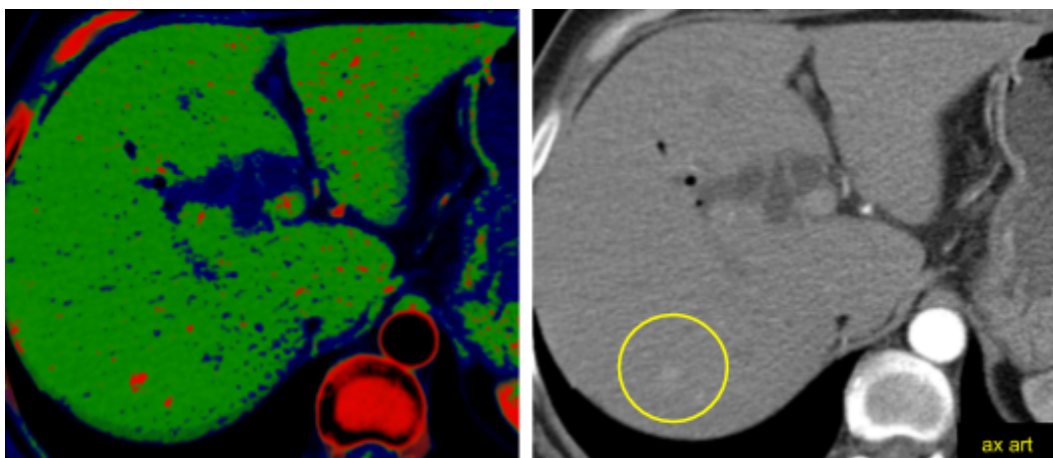


Рисунок 7

- - изоденсный сигнал (от +45 до +75 HU);
- - гиподенсный сигнал (от -1024 до +44 HU);
- - гиперденсный сигнал (от +76 до +1024 HU).

На рисунке 8 показано найденное образование (желтый круг) в заднем правом латеральном сегменте (S7) печени.

**Размер** образования: 19 мм \* 25 мм \* 15 мм.

**Плотность** образований:

- **ранняя артериальная фаза**  $+83 \pm 16$  HU (мин: +40 HU, макс: +133 HU) - гиперденсно к паренхиме печени;
- **поздняя артериальная фаза**  $+105 \pm 20$  HU (мин: +60 HU, макс: +149 HU) - гиперденсно к паренхиме печени;
- **венозная фаза:**  $+96 \pm 16$  HU (мин: +39 HU, макс: +138 HU) - изоденсно к паренхиме печени;
- **отсроченная фаза:**  $+83 \pm 12$  HU (мин: +50 HU, макс: +114 HU) - изоденсно к паренхиме печени.

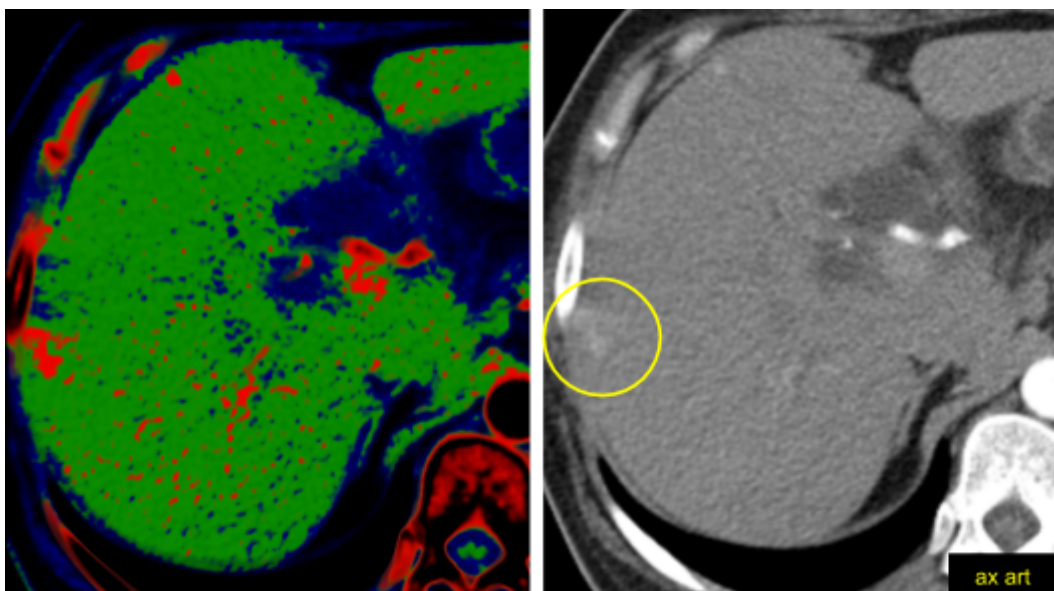


Рисунок 8

- - изоденсный сигнал (от +45 до +75 HU);
- - гиподенсный сигнал (от -1024 до +44 HU);
- - гиперденсный сигнал (от +76 до +1024 HU).

На рисунке 9 показано найденное образование (желтый круг) в заднем правом латеральном сегменте (S7) печени.

**Размер** образования: 9 мм \* 7 мм \* 10 мм.

**Плотность** образований:

- **ранняя артериальная фаза**  $+80 \pm 20$  HU (мин: +37 HU, макс: +128 HU) - гиперденсно к паренхиме печени;
- **поздняя артериальная фаза**  $+113 \pm 25$  HU (мин: +63 HU, макс: +162 HU) - гиперденсно к паренхиме печени;
- **венозная фаза:**  $+99 \pm 13$  HU (мин: +69 HU, макс: +131 HU) - изоденсно к паренхиме печени;
- **отсроченная фаза:**  $+77 \pm 15$  HU (мин: +44 HU, макс: +107 HU) - изоденсно к паренхиме печени.

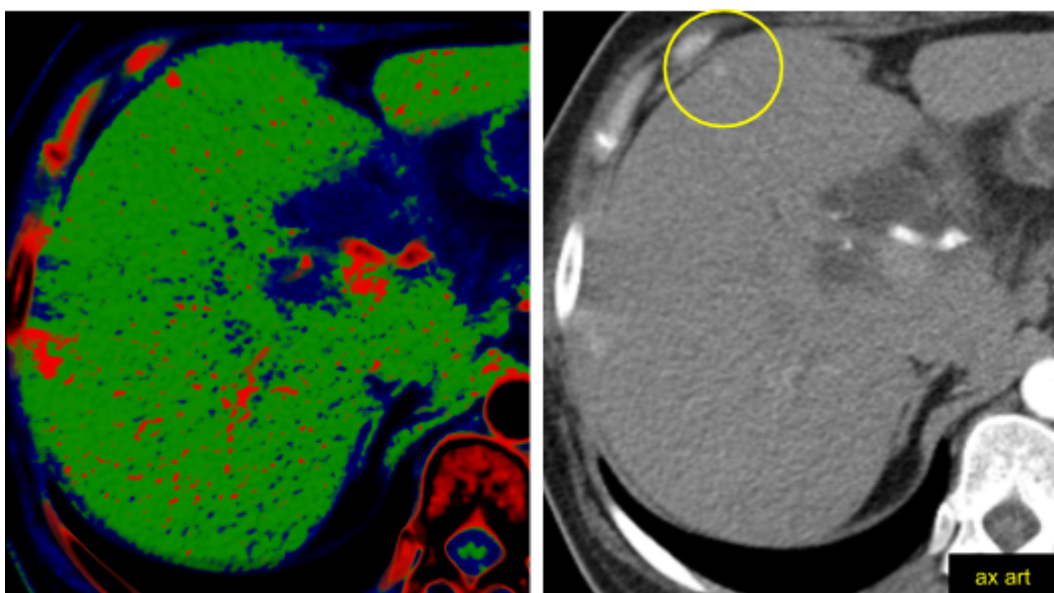


Рисунок 9

- [Green square] - изоденсный сигнал (от +45 до +75 HU);
- [Blue square] - гиподенсный сигнал (от -1024 до +44 HU);
- [Red square] - гиперденсный сигнал (от +76 до +1024 HU).

На рисунке 10 показана трехмерная реконструкция печени с найденными образованиями.

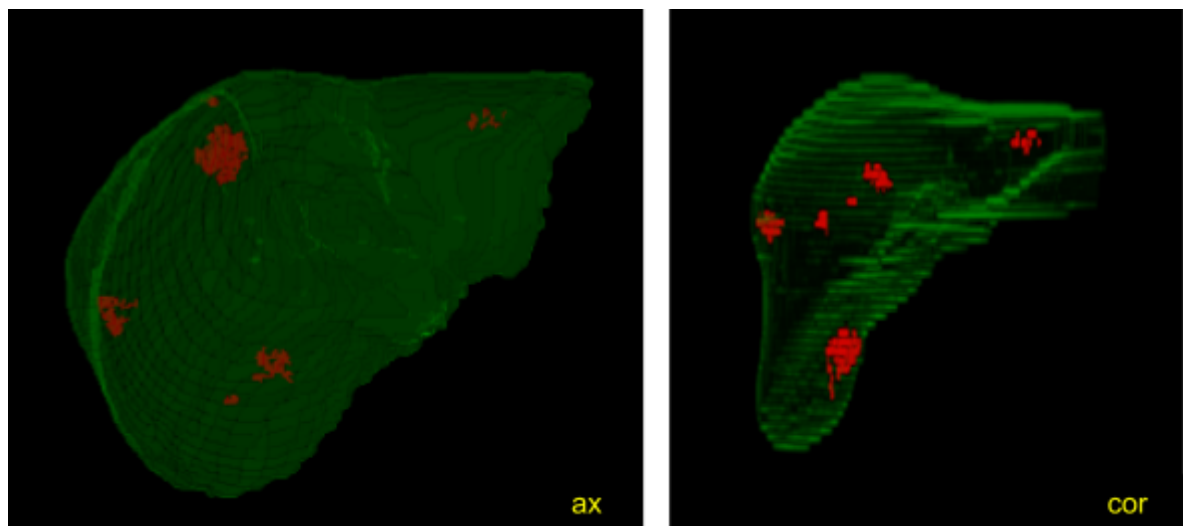


Рисунок 10

## 1.2 Зона внимания - Желчные протоки

**Диаметр желчного протока: 18 мм.** Диаметр желчного протока в воротах печени превышает норму (10 мм).

На рисунке 11 показан способ измерения желчного протока.



Рисунок 11

На рисунке 12, 13 показаны найденные множественные гиподенсные образования (желтый круг) - пузырьки воздуха локализующиеся внутри-желчных протоков печени, не накапливающие контраст.

Внутри-желчные протоки расширены до 10 мм.

**Плотность образований:**

- **артериальная фаза**  $-436 \pm 114$  HU (мин: -522 HU, макс: -241 HU);
- **венозная фаза:**  $-335 \pm 81$  HU (мин: -484 HU, макс: -255 HU);
- **отсроченная фаза:**  $-354 \pm 71$  (мин: -452 HU, макс: -229 HU).

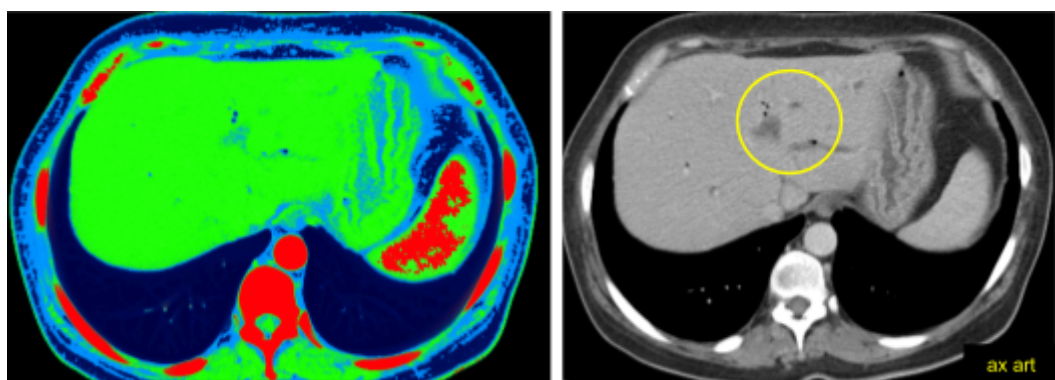


Рисунок 12

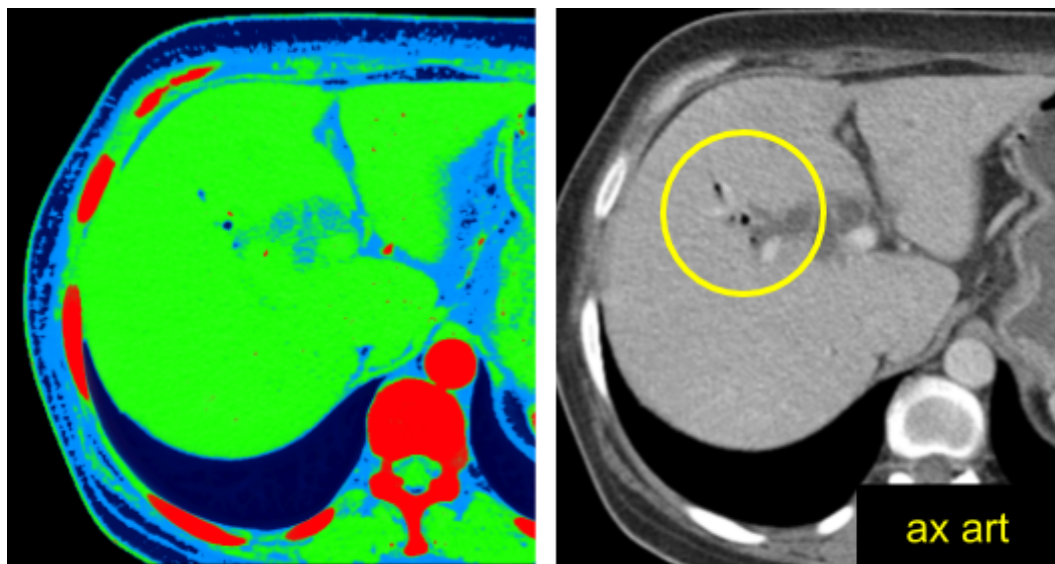


Рисунок 13

- - изоденсный сигнал (от +41 до +104 HU);
- - гиподенсный сигнал (от -1024 до -30 HU);
- - гиподенсный сигнал (от -30 до +40 HU);
- - гиперденсный сигнал (от +105 до + 1024 HU).

### 1.3 Зона внимания - Поджелудочная железа

**Плотность** поджелудочной железы:

- **ранняя артериальная фаза**  $+85 \pm 19$  HU (мин: +40 HU, макс: +123 HU);
- **поздняя артериальная фаза**  $+95 \pm 17$  HU (мин: +52 HU, макс: +145 HU);
- **венозная фаза:**  $+84 \pm 19$  HU (мин: +43 HU, макс: +125 HU);
- **отсроченная фаза:**  $+72 \pm 20$  HU (мин: +26 HU, макс: +117 HU).

**Размеры** поджелудочной железы:

- **хвост:** **20.1 мм** (норма 16 - 20 мм);
- **тело:** **25.7 мм** (норма 17 - 21 мм);
- **головка:** **41.9 мм** (норма 25 - 32 мм).

На рисунке 14 показаны места замеров поджелудочной железы.

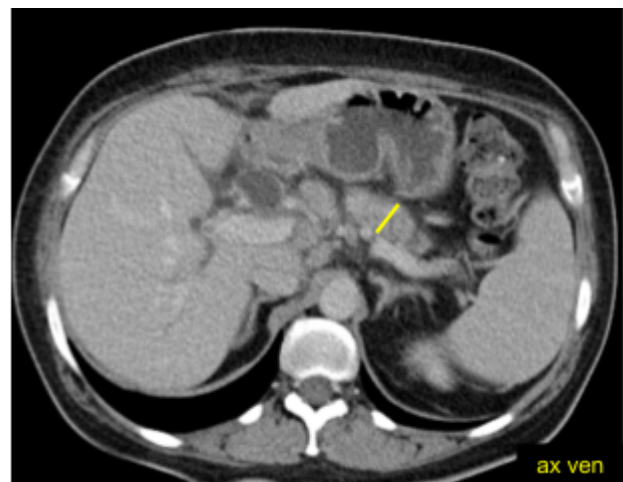
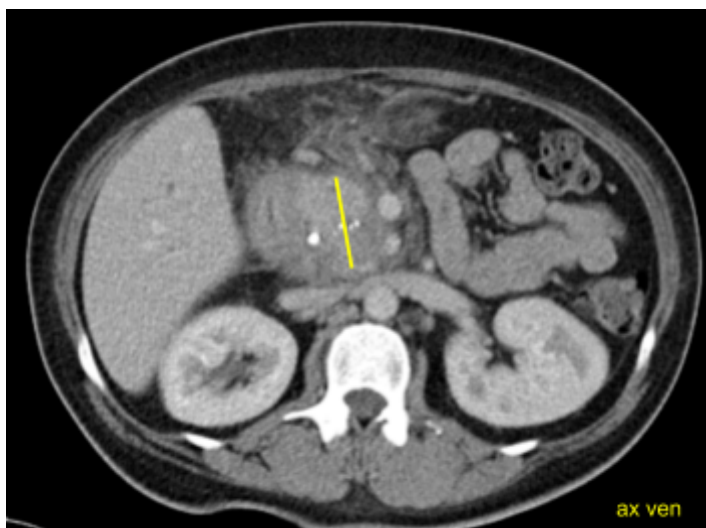


Рисунок 14

**Ширина вирсунгова протока: до 9 мм (норма до 3.3 мм).**

На рисунке 15 показаны места замеров ширины вирсунгова протока.

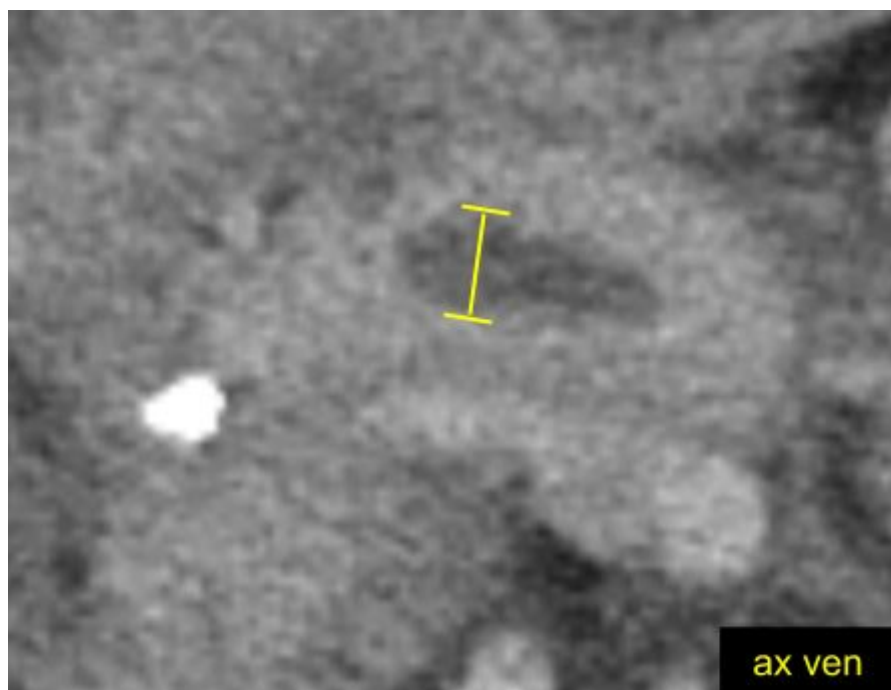


Рисунок 15

На рисунке 16 показано найденное гиподенсное образование (желтый круг) в головке поджелудочной железы.

**Размер образования:** 22 мм \* 17 мм \* 18 мм.

**Плотность** образований:

- **ранняя артериальная фаза**  $+41 \pm 18$  HU (мин: -23 HU, макс: +90 HU);
- **поздняя артериальная фаза**  $+49 \pm 16$  HU (мин: +8 HU, макс: +112 HU);
- **венозная фаза:**  $+50 \pm 2$  HU (мин: -8 HU, макс: +98 HU);
- **отсроченная фаза:**  $+70 \pm 20$  HU (мин: +12 HU, макс: +125 HU).

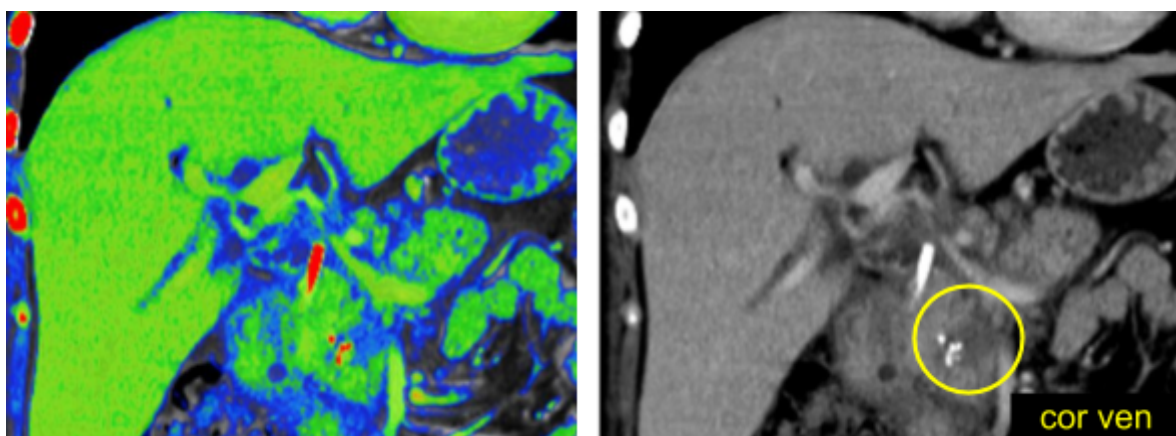


Рисунок 16

- - изоденсный сигнал (от +40 до +150 HU);
- - гиподенсный сигнал (от -1024 до +39 HU);
- - гиперденсный сигнал (от +151 до + 1024 HU).

На рисунке 17 показаны найденные гиперденсные образования (желтый круг) - кальцификаты в головке поджелудочной железы.

**Размер образований:**

1. от 2.4 мм \* 2.5 мм \* 2.9 мм;
2. до 6.2 мм \* 6.8 мм \* 9.3 мм.

**Плотность** образований **во всех фазах** контрастирования:

- :  $+416 \pm 77$  HU (мин: +361 HU, макс: +471 HU);

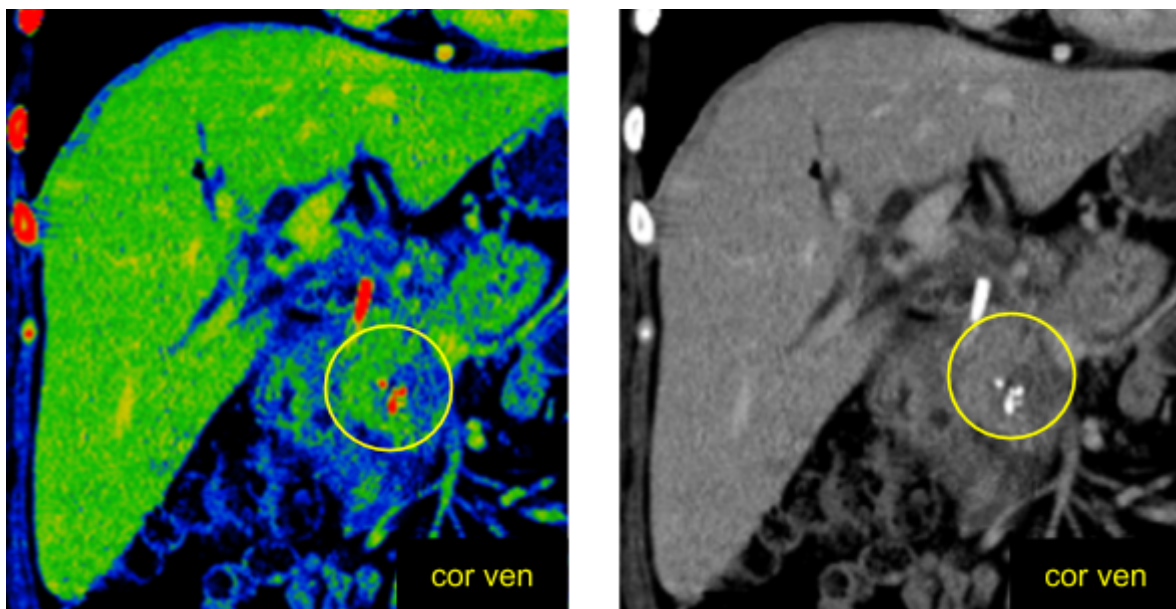


Рисунок 17

На рисунке 18, 19 показано найденное гиподенсное образование (желтый круг) между двенадцатиперстной кишкой и головкой поджелудочной железы.

Размер образования: 9 мм \* 7 мм \* 7 мм.

Плотность образований:

- **ранняя артериальная фаза**  $+7 \pm 18$  HU (мин: -33 HU, макс: +47 HU);
- **поздняя артериальная фаза**  $+9 \pm 18$  HU (мин: -39 HU, макс: +52 HU);
- **венозная фаза:**  $+20 \pm 19$  HU (мин: -24 HU, макс: +51 HU);
- **отсроченная фаза:**  $+19 \pm 22$  HU (мин: -24 HU, макс: +51 HU).

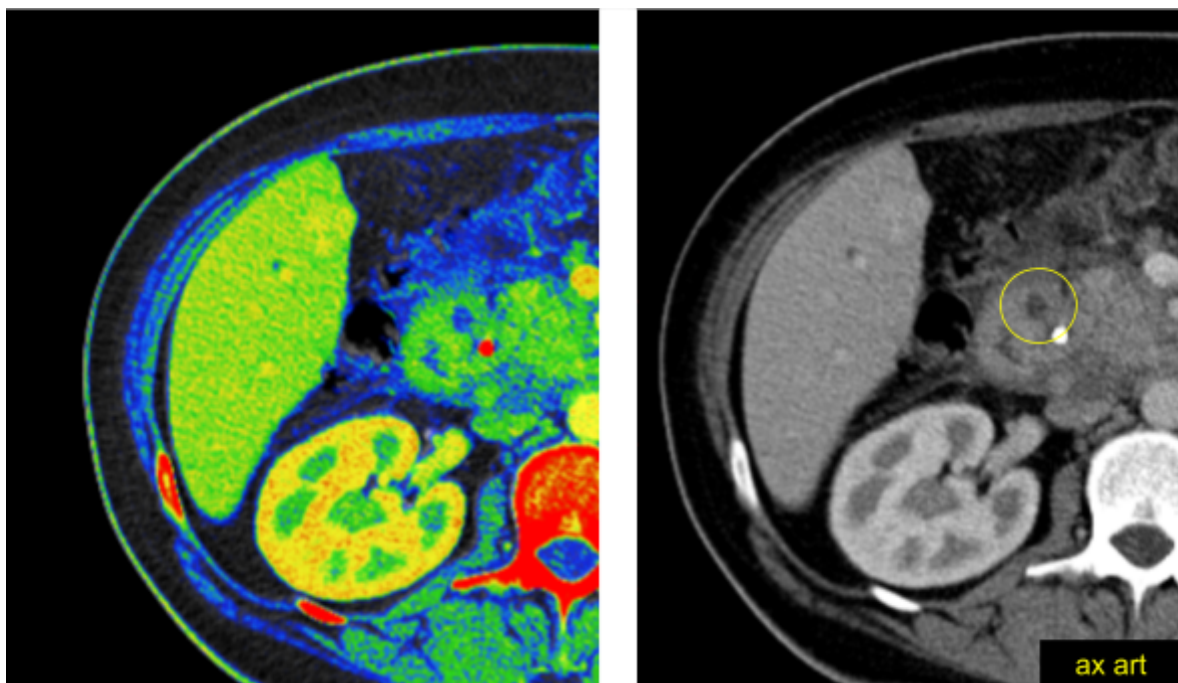


Рисунок 18



Рисунок 19

#### 1.4 Зона внимания - Лимфатические узлы

На рисунках 20 - 22 показано увеличение размеров лимфатических узлов.

**Размер** (короткая ось \* длинная ось):

1. Чревный Л/У: 12 мм \* 14 мм (рисунок 21);
2. Парааортальный Л/У (в районе левой почечной вены): 10 мм \* 15 мм (рисунок 22);
3. Печеночные Л/У (по ходу общей печеночной артерии): 16 мм \* 18 мм (рисунок 23)

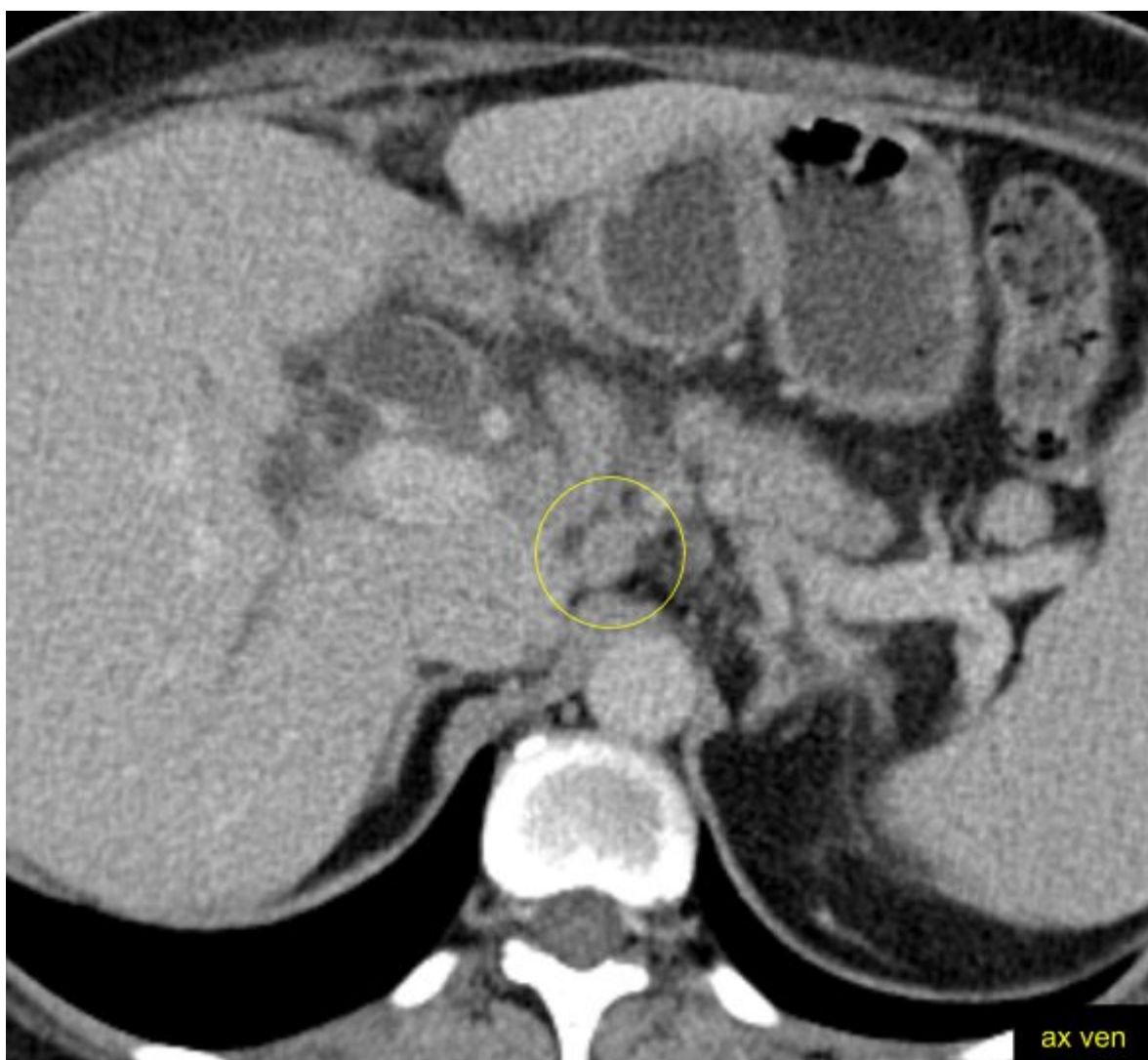


Рисунок 20



Рисунок 21

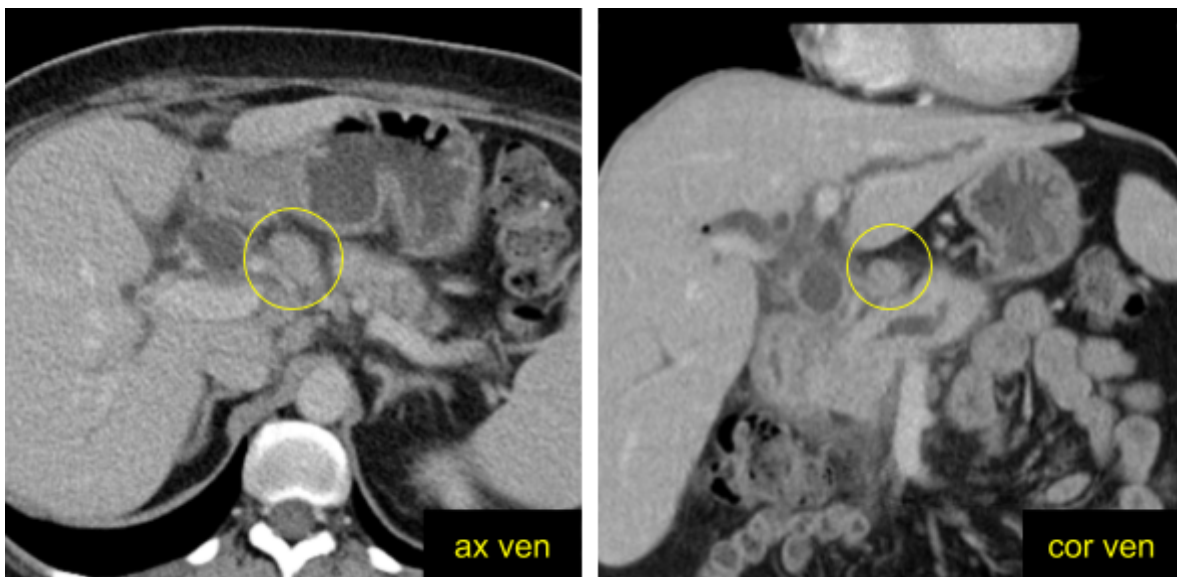


Рисунок 22

## 2. Область исследования - Органы малого таза

Предоставленные снимки области исследования представлены на рисунке 23.



Рисунок 23

## 2.1 Зона внимания - Почки

**Положение** почек показано на рисунке 24:

- верхний полюс правой почки на уровне тела L1 позвонка;
- нижний полюс правой почки на уровне нижней замыкательной пластины L4 позвонка;
- верхний полюс левой почки на уровне верхней замыкательной пластины L1 позвонка;
- нижний полюс левой почки на уровне тела L4 позвонка.

**Размеры** почек (рисунок 25):

(норма: поперечник 50 - 60 мм, краинокаудальный 80 - 130 мм, передне-задний 30 - 40 мм)

- правая почка: поперечник **71.8 мм**, краинокаудальный 110 мм, передне-задний **68.7 мм**.
- левая почка: поперечник **77.3 мм**, краинокаудальный 113.8 мм, передне-задний **67.1 мм**;

**Толщина** коркового слоя:

норма: 4 - 5 мм.

- правая почка: **9.05 мм**;
- левая почка: **8.49 мм**.

**Ширина** мочеточника

норма: 4 - 7 мм.

- правый мочеточник: **3.3 мм**;
- левый мочеточник: **4.13 мм**.

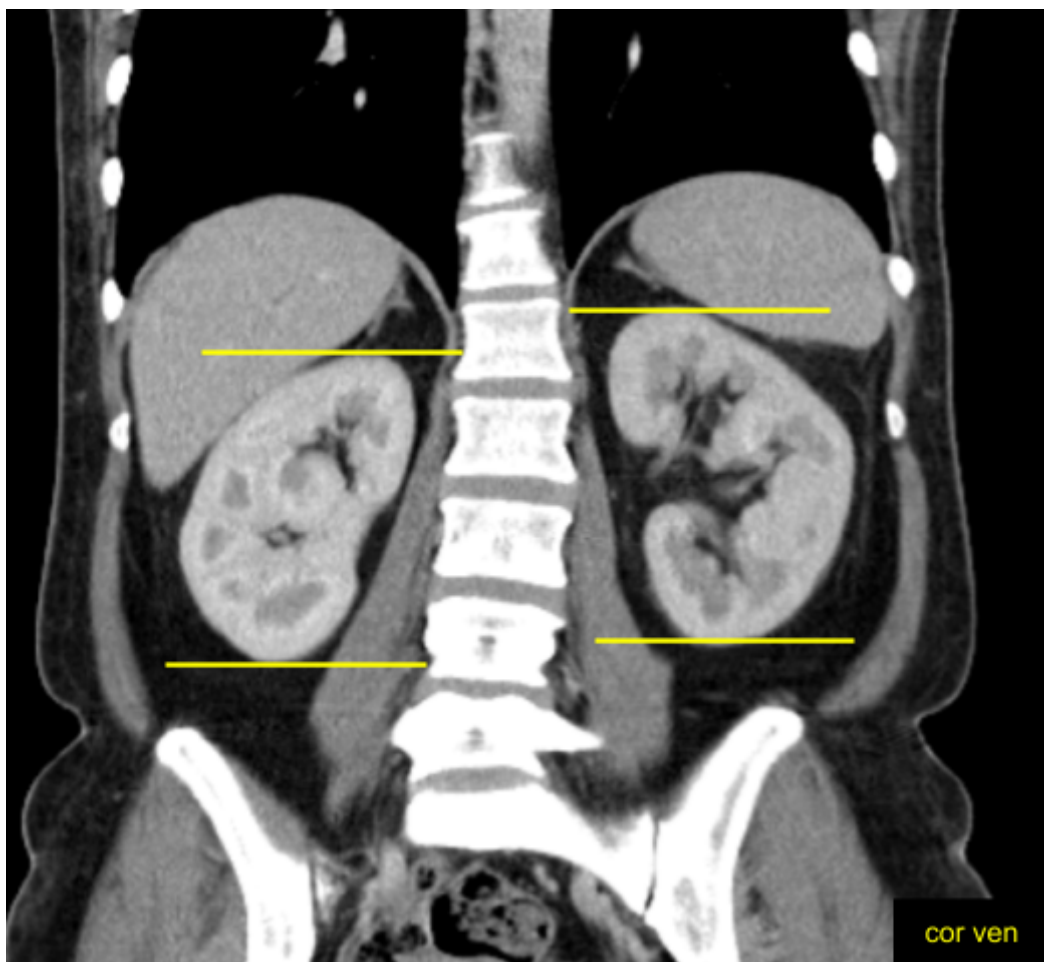


Рисунок 24

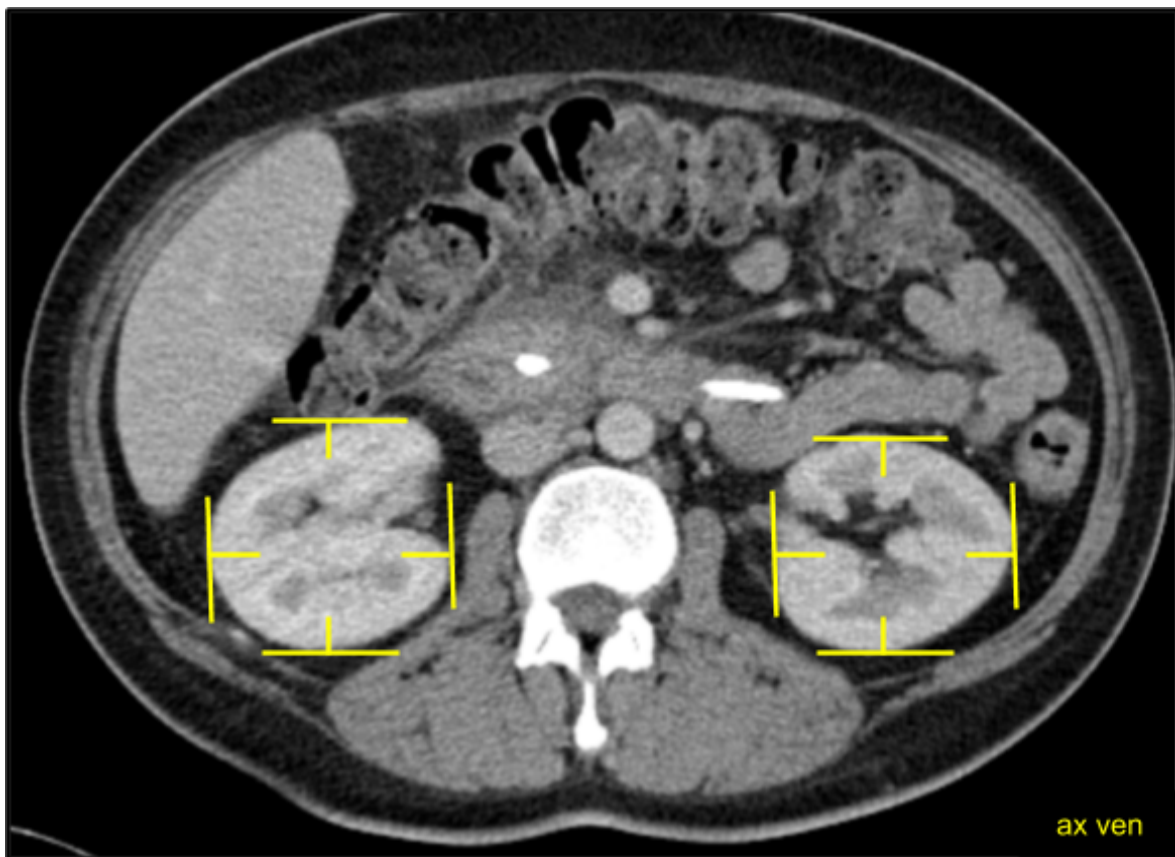


Рисунок 25

На рисунке 26 показано найденное гиподенсное образование (желтый круг), клиновидной формы, в корковом слое правой почки. Неоднородной структуры.

**Размер образования:** 5.5 мм \* 5.9 мм \* 5.3 мм;

**Плотность образования:**

- **артериальная фаза**  $+9 \pm 14$  HU (мин: -4 HU, макс: +30 HU);
- **венозная фаза:**  $+8 \pm 14$  HU (мин: -10 HU, макс: +26 HU);
- **отсроченная фаза:**  $+13 \pm 12$  (мин: +5 HU, макс: +22 HU).

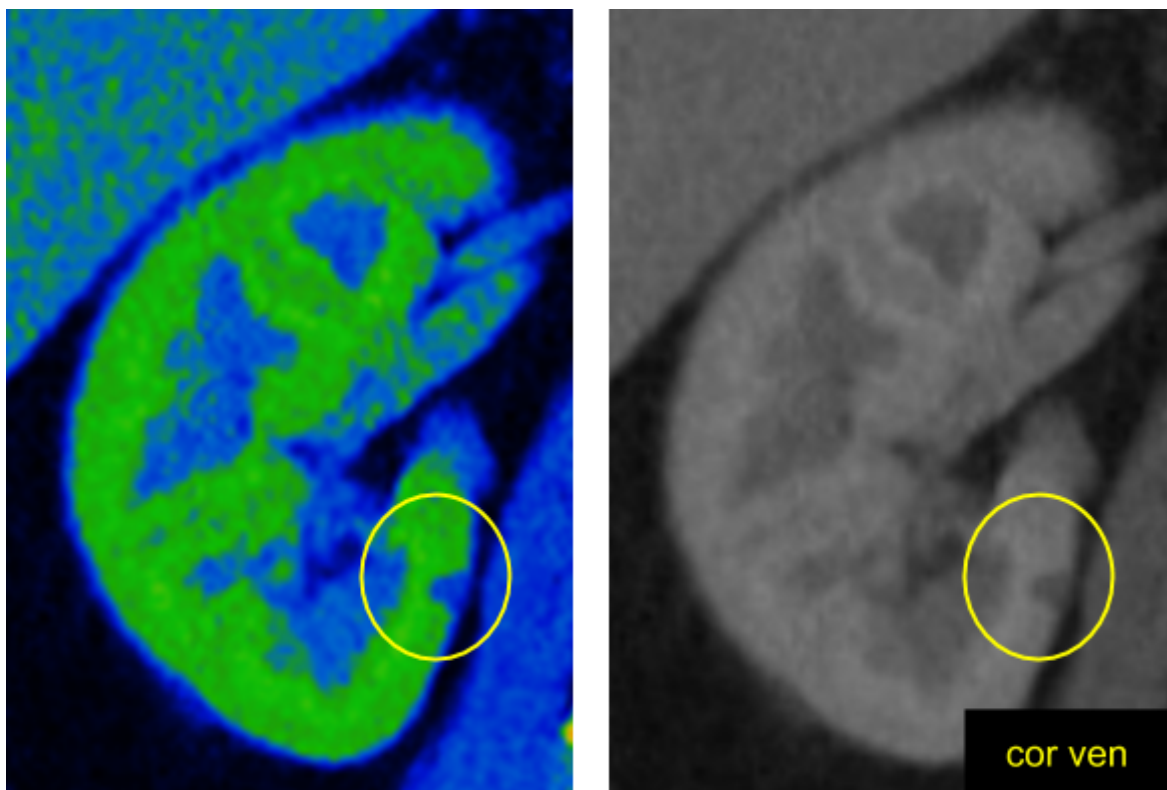


Рисунок 26

## ВЫВОДЫ

### 1. Область исследования - Органы брюшной полости

#### Зона внимания - Печень

- Образование в заднем левом латеральном сегменте (S2) печени, размером: 23 мм \* 16 мм \* 20 мм.
- Образование в переднем правом латеральном сегменте (S5) печени, размером: 28 мм \* 24 мм \* 20 мм.
- Образование в заднем правом латеральном сегменте (S7) печени, размером: 20 мм \* 13 мм \* 20 мм.
- Образование в заднем правом латеральном сегменте (S7) печени, размером: 9 мм \* 9 мм \* 10 мм.
- Образование в заднем правом латеральном сегменте (S7) печени, размером: 19 мм \* 25 мм \* 15 мм.
- Образование в заднем правом латеральном сегменте (S7) печени, размером: 9 мм \* 7 мм \* 10 мм.

#### Зона внимания - Желчные протоки

- Диаметр желчного протока в воротах печени: 18 мм. Внутри - желчные протоки расширены до 10 мм.
- Множественные пузырьки воздуха локализующиеся внутри желчных протоков печени.

**Зона внимания - Поджелудочная железа.** Увеличение размеров поджелудочной железы (хвост: 20.1 мм; тело: 25.7 мм; головка: 41.9 мм). Расширение вирсунгова протока до 9 мм.

- Гиподенсное образование в головке поджелудочной железы, размером 22 м \* 17 мм \* 18 мм.
- Кальцификаты в головке поджелудочной железы.
- Гиподенсное образование между двенадцатиперстной кишкой и головкой поджелудочной железы, размером 9 мм \* 7 мм \* 7 мм.

#### Зона внимания - Лимфатические узлы

- Увеличен чревный Л/У: 12 мм \* 14 мм ;
- Увеличен парааортальный Л/У (в районе левой почечной вены): 10 мм \* 15 мм;
- Увеличен печеночный Л/У (по ходу общей печеночной артерии): 16 мм \* 18 мм.

## 2. Область исследования - Органы малого таза

**Зона внимания - Почки.** Увеличение размеров почек.  
Гиподенсное образование, клиновидной формы, в корковом слое правой почки, размером 5.5 мм \* 5.9 мм \* 5.3 мм.